イスパウトにおける粉体の 現

Studies on the electrification-phenomena of flowing flour in spout.

Abstract

Dust explosion is often occured by spark-discharge of static electricity which is induced in the flow of flour: So we have researched fundamental cause of electrification of it.

Electro static charg induced on flour and spout must be measured and discussed as follows.

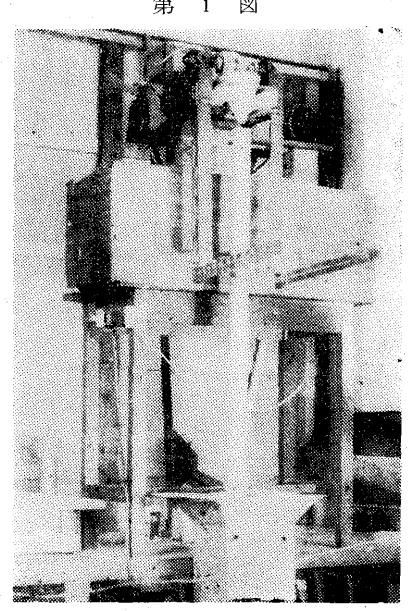
- 1. Relation between electro static charg on flour and spout.
- Variation of electro static charge by kinds of flour.
- Variation of electro static charge of flour by electrical effect of earth contact and inserting grid on spout.
- Electrical effect by kinds of material, shape and inclination of spout.

§ 1. 緖 \ 言

粉体が流動するときに、摩擦により帯電しこの静電気 が原因となつて、粉塵爆発を起す危険がある。

昭和28年1月某製粉工場の製粉タンク内で大爆発を起 し、多数の死傷者を出した。この事故の原因を調査した ところ, 小麦粉の流動に基く, 摩擦帯電による疑いが濃 厚であつた。又製粉工場においてはスパウト(樋), ミ ル、フィルター等において原因不明の小爆発を経験する ことがあつた。

図

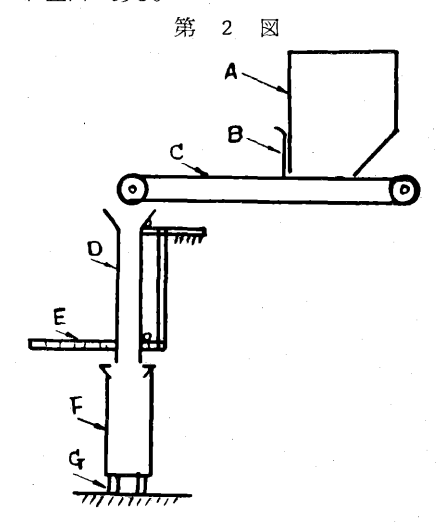


そこでこれらの危険性を解明するために, 小麦粉がス パウト中を流動する際の帯電量を測定した。尚、静電気 による粉塵爆発や作業者の感電危険は単に, 製粉工場の みならず, 広く粉体を取扱う工場において見られるので 小麦粉以外の粉体についても実験を行つた。又これらの 災害危険を軽減する方法を研究するために、スパウトを 用いて粉体の種類及び落下密度の影響、並びにスパウト の材質,形状,絶縁,接地,傾斜角度,内面塗料等の影 響を検討した。

§ 2. 実験設備

2.1. 実験装置I

第1図はこの実験装置の概況を示したもので、第2図 はその組立図である。



A…上部タンク

B…粉体落下量調節用シヤッター

C…ベルトコンベアー

D…スパウト

E…スパウト支持腕及傾斜角度目盛

F…受 器

G…パラフィン

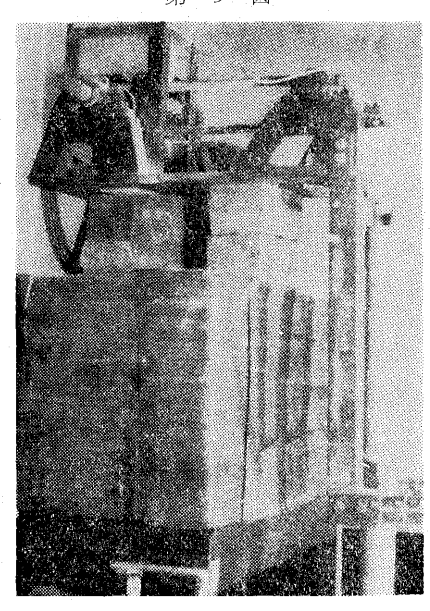
上部タンク(A)に入れた粉体は、ベルトコンベア(O)により均一にスパウト(D)に供給される。スパウトを通つた粉体はパラフィン(O)で絶縁された受器(F)に蓄積される。

回はスパウトの支持腕及び傾斜角度目盛で,これにより長さ1mのスパウトの傾斜角度を50度から90度まで5度毎に自由に変化できる。

又必要に応じ、パラフィンなどによりロート及びスパウトを10¹² Ω 以上に絶縁することができる。

第3図は上部の粉体送給装置を示したもので、シャッター®により単位時間当りの粉体供給量を1gr/sec 乃至10gr/sec の範囲に調節することができる。

第 3 図



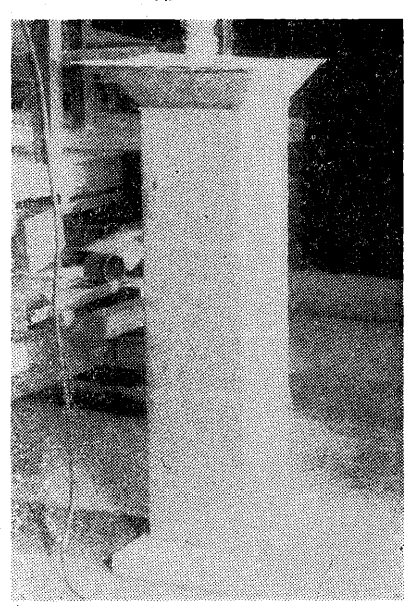
第4図は受器回を示したもので、スパウトより落下する粉体が再び受器外に噴出するのを防ぐように考慮している。

2.2. 実験装置Ⅱ

長さ9mのスパウトを垂直に取付けて実験するため、 当所の研究室に設けたもので、第5図はその紙立図を示 したものである。上部タンク仏の中に充塡した粉体はス クリューコンベアによりスパウト(の)の落口に運ばれ、ス パウト(C)を通じて受器回に蓄積される。

第6図はスパウトを取付けた状況を,第7図は受器に 小麦粉を受けている状況を示したものである。 受器は木製函に鉄板を内張りしたものである。

第 4 図



第 5 図

A

B

C

F

THINTIPHE

F

A…上部タンク

B…スクリューコンベア

C…スパウト

D…受器のフタ

E…受 器

F…パラフィン

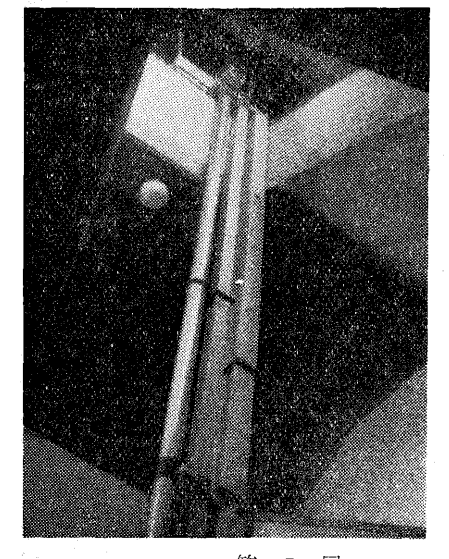
2.3. 実験装置Ⅲ

現場で実際に操作する状態で帯電状況を測定するため に,製粉工場に第8図及び第9図に示す如き設備を設け て実験をした。

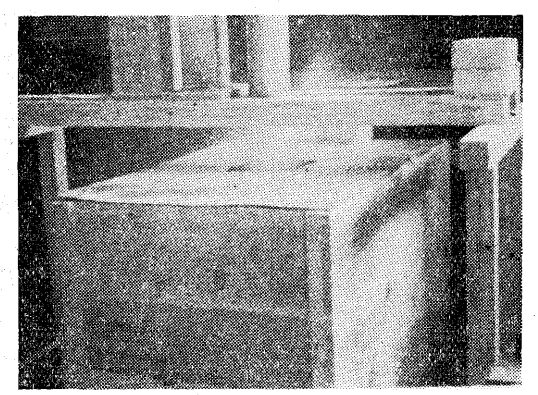
粉体の運搬機構はⅡの装置と同様にスクリューコンベアを用い、コンベアも実際と同様の太いものを使用した。

唯、粉体の供給には上の階にて袋より手にて送給するので、実験装置Iのように均一に送給することはできなかつた。

第 6 図



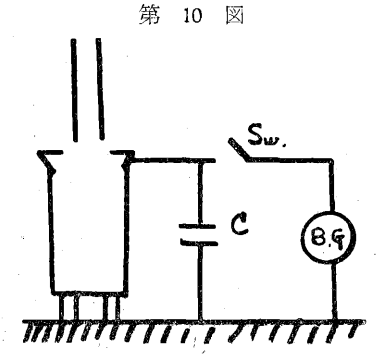
第 7 図

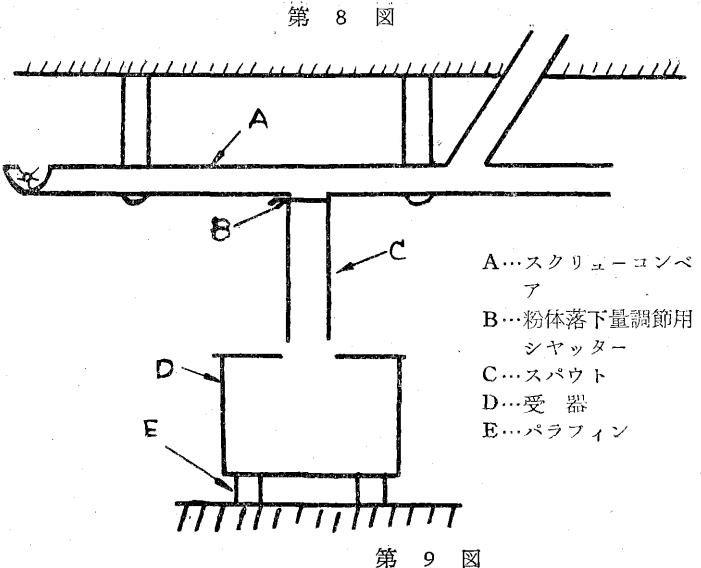


§ 3. 実験方法

実験装置I乃至IIIを通じ、受器に蓄積した粉体の持つ 静電気を次のいずれかの方法で測定した。

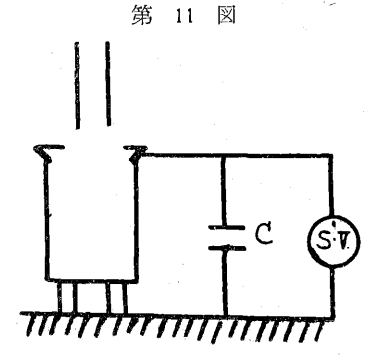
3.1. 彈動検流計法







第10図の如く受器に $1\mu f$ 程度のコンデンサー(C)を接続し、粉体の落下終了と同時に(C)に蓄積された電荷を弾動検流計 $(B \cdot G)$ によつて測定した。 $B \cdot G$ の最大感度は $811mm/\mu c$ である。



3.2. 静電電圧計法

第11図に示す如く受器に適当な静電容量の蓄電器(C)を接続し、蓄電器の端子電圧を、都電研型の静電電圧計(S・V)で測定した。

静電電圧計 750 ボルト目盛の静電容量は 12p.f 程度で 絶縁は極めて良く, 受器もできるだけ高絶縁に保つよう に努力した。

実験装置Ⅰの受器の静電容量は65p·f程度,実験装置Ⅱの受器の静電容量は143p.f程度であつた。

静電電圧計の読みは粉体の落下開始後5秒毎に記録し落下終了後も落下時間Tと同じ時間だけ記録を続けた。 電圧は通常落下時間に比例して増大し、落下終了時に最高値に達し、その後僅かづつ減衰する。

落下終了後 \mathbf{T} 秒後の電圧を V_m , $2\mathbf{T}$ 秒後の電圧を V_l とすれば, \mathbf{T} 秒間の電圧降下は $V_m - V_l$ で,その間の全装置よりの漏洩電荷は \mathbf{C} ($V_m - V_l$) である。

次に落下開始より落下終了迄T秒間に蓄電器の端子電圧は零より V_m まで殆んど直線的に増加するので、その間の漏洩電荷は大体 $\frac{1}{2}C(V_m-V_l)$ と考えられる。故に粉体の真の帯電量は

$$Q = C \left(V_m + \frac{V_m - V_l}{2} \right) = CV_m \left(1 + \frac{V_m - V_l}{2 V_m} \right)$$

と考えられる。

一般には漏洩が少く $rac{V_m-V_l}{2\,V_m}$ が0.5%以下が多く,

その場合には

 $Q = CV_m$

として計算した。

この方法は前の弾動検洗計法の場合に比し、測定が容易であり、落下中の電荷の蓄積状況を知ることができる。 唯、測定しようとする電荷が少く、蓄電器(C)の容量が非常に小さい場合には漏洩による誤差を生じ易い。

§ 4. 実験に用いた資料

4.1. スパウト

実験に用いたスパウトの種類は第1表の通りである。

第1表 スパウトの種類

			the state of the state of the state of	السرابي ويستوين
番号	材質	型状	直径又は 一 辺	長さ
1	金 属	丸 型	2in	100cm
2	"	"	3//	//
3	"	"	10cm	900cm
4	11	角型	9 //	. <i>II</i> ,
5	木 製	"	"	"
6	金 属	丸 型	18 //	322 cm
7	木 製	角型	"	"

4.2. スパウトに用いた塗料

スパウトの内面塗装に用いた塗料は第2表の通りである。

第2表 塗料の成分表

1. ポリニール No.50

成	分	含有率(%)
醋酸ヴィニー	ル	30.0
ポリヴィニー	ル	4.0
フタル酸ヂブ	チール	3.0
酒石	酸	0.12
ソーダ」	灰	0.08
過酸化水	素	0.15
酸化チダニウ	۵.	30.0
水		32.65

2. ヱバ・トップ

成	分	含有率(%)	
顔	料	44.0	
アレキドデジ	·	20.0	
プラシチッ	プラシチック		
乳融	液	2.5	
水		26.0	

3. ビニレン

成	A	含有率(%)
		20.0
	= ±	15.0
カーボンブラ	ック	5.0
醋酸ヴィニー	アレ	60.0

4. 防蝕塗料A (絶縁ワニス)

主成分 フタル酸樹脂

熔剤 ミネラルスピレット,スチロール

添加 アマニ油, 支那桐油 比抵抗 10¹⁴Ω cm/0.1mm

耐 圧 6500v/0.1mm

4.3. 粉 体

実験に用いた粉体の性状は次の通りである。

4.3.1. 小麦粉

表は次頁

4.3.2. 砂糖類

イ 成 分

蔗糖分 99.91% 転化糖 0.03% 水 分 0.04% 灰 分 0.02%

第3表 小麦粉の性状

種類	粒 度 (mesh)	比表面積 (測定値)		用 途
Α	200~270		· ·	ビスケット類
В	170~200			パン類
C	300以上			麵類
D	170~200	1480	0.45	パン類
E	200~270	2360	0.48	ビスケット類
F	300以上	3700	0.35	天ぷら, カステラ類
G.	300以上	2 890	0.36	麵 類

見掛比重 0.5 真比重 1.4

口粒度

粉糖 325mesh以上

砂糖(結晶) 30mesh以下 40% 30~60mesh 55%

60mesh以上 5%

4.3.3. その他の粉体

第4表 その他の粉体の性状

種	類	粒 度 (ミクロン)	見掛比重
石	膏	30~70	0.81
タル	ク	20~50	0.45
第二燐電	曾石灰	50 ~ 100	0.50
重質炭酸	曾石灰	10~40	0.51
軽質炭電	9石灰	10~20	0.21

§ 5. 実験結果とその考察

5.1. 実験結果の信頼度

同じ粉体及び同じ実験装置をなるべく同じ条件で, 帯 電量を測定した結果は一般に実験日により相当の差を生 じている。

しかし同じ日の実験結果のバラッキは極めて少ない。

第5表実験結果のバラッキ

実験装置 I , 金属スパウト; 2'' ϕ , 100cm, 垂直, 接地 試料, 小麦粉 D, 落下量 100gr.

			FVPI , 7 7 2/2	カラ, 裕一里	10061.		
年月日	天 侯	室温(°C)	湿度(%)	粉温(°C)	落下時間 (sec)	帯 電 量	μc/100gr
					34.0	+0.300	
			<i>(</i>		33.5	+0.320	
					35.0	+0.290	
30. 3. 9.	小 雨	10.0	61.0	10.0	35.0	+0.300	+0.313
			,		36.0	+0.302	
				-	35.5	+0.315	
		14			33.0	+0.292	
×. '					34.0	+0. 193	
					34. 5	+0.208	
A TOTAL STATE			-		35.0	+0.198	
30. 3. 10.	曇	10.0	61.0	10.0	35.0	+0.163	+0.183
				-	34.5	+0.160	
					36.0	+0.173	
					35.5	+0.183	
					35.5	+0.392	
					36.0	-1-0.392	
*					36.0	+0.385	
30. 3. 11.	曇	10.0	61.0	10.0	36.0	+0.350	+0.369
		ľ			36.0	+0.360	
		1			36.0	+0.345	•
					36.0	+0.357	
					34.0	+0.402	
				* * .	* 35.5	+0.420	
					3 5 . 0	+0.410	
30. 3. 14.	曇	12.0	54.0	10.3	36.0	+0.397	+0.413
					35.5	- +0.40 7	

					35.5	+0.425	
	1	•			35.5	+0.425	
own w			,		34.0	+0.446	
	,				35.0	+0.480	
					35.0	+0.437	
30. 3. 15.	曇	11.0	62.0	10.3	34.5	+0.480	+0.456
					35.5	+0.442	
					35.0	+0.468	
					35.5	+0.438	
					34.0	+0.505	
					35.0	+0.488	•
					34.0	+0.543	
30. 3. 16.	晴	12.0	63.0	10. 1	35.0	+0.519	+0.536
					34.0	+0.568	
					35.0	+0.575	
					36.0	+0.550	
					34.5	+0.318	
					35.5	+0.317	
				. •	35.5	+0.307	
30.3.18.	曇	16.0	77.0	15.5	35.5	+0.317	+0.313
				1	35.5	+0.310	
					34.5	+0.317	
					35. 5	+0.307	

第5表は小麦粉Dについて7日間に亘つてなるべく同じ条件で実験した結果であるが、実験日により著しい変動を生じている。

しかもこの変動と天候,温湿度,粉温等との間の相関 関係は明らかでなく,変動の原因は未だ明確でない。

併し同じ日に行つた各7回の測定値のバラッキは割合に少く、確率誤差は±2~7%である。

又同じ日に実験条件を変えた相互の関係は実験日が異なっても類似の傾向を示している。

従つて実験結果の帯電量の絶対値には多少の疑問があるが、比較試験の結果が示す相互の関係には相当の信頼

性があるものと考えられる。

このような見解に基いて粉体並にスパウトの条件を変化して帯電量を測定比較し、実験結果についてはなるべく測定値をそのまま詳細に記載するようにした。

5.2. スパウトの帯電量と粉体の帯電量との比較

小麦粉がスパウト中を流下する場合に、如何にして帯電するかを検討するためにスパウトをゴム又はパラフィンで絶縁し、スパウトの帯電量と小麦粉の帯電量を比較した。又参考のために重質炭酸石灰についても同様の実験を行つた。その結果は第6表に示す通りである。

スパウトの帯電量と粉体の帯電量は大体に於て等しく

第 6 表 スパウトの帯電量と粉体の帯電量との比較

金属スパウト垂直

※1 30.3.11. 曇 10°C, 61%

※2 28.5.1. 晴 10°C, 67%

実験 スパウト 数体の種類	松林の種類	落下量(gr)	落下時間	帯	電量	μc/100gr		
	が件の重ね	治「里(81)	(sec)	~ 粉	体	スパ	ウト	
		:	100	35.0	+0.487		-0.500	
T.	211 0	2" φ 重質炭酸石灰	"	36.0	+0.475		-0.487	
	'		"	36.0	+0.475		-0.487	
※ 1	1 100cm 含水率 0.3%	"	35.5	+0.462	+0.465	-0.475	-0.479	
• •			.//	34.0	+0.450		-0.462	

			100	34.5	+0.443	-0.456
			"	36.0	+0.462	-0.480
I	2″ ф		100	34.5	+0.375	-0.352)
× 2	100cm		"	34.0	+0.385	-0.340
		小麦粉 D	"	36.0	+0.362	-0.348
			11	35.5	+0.380 > +0.376	$-0.352 \rangle -0.347$
		含水率14.4%	"	35.5	+0.380	-0.340
			"	35.0	+0.377	-0.352
		2	"	36. 0	+0.370	-0.327
			6,500	26.0	+0.618	
			8,300	32.0	+0.624 +0.626	
	9cm [小麦粉C	6,400	27.0	+0.636	
	900cm	含水率13.6%	6,600	28.0		-0.634
П			7,600	29.0		-0.632 -0.633
€2			7,400	28.0	+0.544	
			8,100	29.0	+0.536 > +0.545	
	10cmφ	10cmφ 小 麦 粉 C 900cm 含水率13.6%	7,400	26.0	+0.556	
	900cm		4,800	24. 0		-0.562
			6,600	27. 0		$ -0.562 \rangle -0.566$

極性が反対である。従つてスパウトを流下する際に粉体 に生ずる帯電は主にスパウトの内面との摩擦によるもの と考えられる。

実験装置IIに於てはスパウトの帯電量と小麦粉の帯電量を別々に測定したので、厳密には実験条件が異なるので比較し難い訳であるが、実験条件のこの程度の相異では、単位落下量当りの帯電量には大した影響がないものと考えられる。

又スパウトの絶縁にゴムシートを用いたので、その絶縁抵抗は (1~2)×10⁸ オーム程度であつたが、1μf のコンデンサーを接続して帯電量を測定したので測定中における電荷の漏洩は殆んど認められない。

5.3. 粉体の種類による帶電量の比較

実験装置Ⅱにより原麦,フスマ,並に小麦粉の帯電量を比較した結果は第7表の通りで,小麦粉はすべて正に

第7表 粉体の種類による帯電量の比較 実験装置Ⅱ, 木製スパウト 9cm□, 900cm 垂直 30.4.22. 晴 16°C, 56%

粉体の 種 類	落下量 (gr)	落下時 間(sec)	帯電量 μc/100gr 備考
原 麦	14,000	29.0	-0.00214) -
"	15,000	30.0	-0.00218 0.00216
フスマ	6,300	25.0	+0.090)
"	6, 700	25.0	+0.093
"	6,800	26.0	+0.097 \ +0.097

フスマ	6,900	24.5	+0.101	
//	7,000	26.0	+0.102	
小麦粉A	7,300	29.0	+0.206	
, //	6,200	27.0	+0.198	A 1 1+1
//	6,500	27.0	+0.198 \ +0.196	含水率 13.6%
//	5,500	28.0	+0.190	, , ,
"	7,200	27.0	+0.190	2
小麦粉B	8,700	27.0	+0.288	
111	8,80 0	28.0	+0.306 +0.311	含水率
//	9,500	29.0	+0.316	14.0%
//	8,500	28. 0	+0.324	
小麦粉C	6,700	27.0	+0.364	A 1 = 4=
//	6,700	28.0	+0.362 \ +0.363	含水率 13.2%
//	6,900	29.0	+0.362	
			}	1

帯電し、原麦は僅かに負に帯電した。フスマには小麦粉が多量に含んでいたので、純粋のフスマの帯電量ではない。又実験装置により種々の小麦粉の帯電量を比較した結果は第8表の通りである。

実験装置 I と II ではスパウトの径及び長さ並びに粉体 の落下密度も異なる。従つてこの結果より直ちに両者の 比較をすることは困難であるが、全体を通じて小麦粉で は中力小麦粉 (C及びG) が比較的多く帯電するように 考えられる。

次に参考迄に小麦粉以外の種々の粉体の帯電量を比較 した結果は第9表の通りで、砂糖、粉糖、石膏及びタル

表 % I,金 曇	属スパウ 10°C, (a 落下時間 (sec) 34.0 34.5	带電量,40.193	00cm , 垂		粉糖	100	33.0 33.0 34.0 33.0 34.0	-0.260 -0.264 -0.285 -0.270 -0.284	→ -0.26 7			
I,金 曇 下量 gr)	属スパウ 10°C, (a 落下時間 (sec) 34.0 34.5	7 ト2″φ, 10 61% 帯電量 _P +0.193)	00cm , 垂	直,接地	粉糖	100	34.0 33.0	-0.285 -0.270	→ -0.2 67			
小量 gr)	70°C, 6 落下時間 (sec) 34.0 34.5	61% 帯電量, +0.193)					33.0	-0.270				
下量 gr)	落下時間 (sec) 34.0 34.5	带電量,40.193	ıc/100gr	備老			•					
gr)	(sec) 34.0 34.5	十0.193	ıc/100gr	備老			34. ∩	n 284 l				
	34.0 34.5			ערי נווע				0.201)				
100	34.5						33.0	+0.012				
100		+0.208					33.0	+0.011				
100	35.0	+0.198		粉温			35.0	+0.012				
	35.0	+0.163	+0.183	粉温 9.5° C	味の素	100	35.0	+0.011	+0.012			
	34.5	+0.160		含水率 14.4%			34.0	+0.011				
:	36.0	+0.173					36.0	+0.012				
	35.5	+0.183					35.0	+0.012				
	3 5. 0	+0.178					36.0	-0.042				
	36.5	+0.196										
	36.5	+0.178		粉温			37.0					
100		+0. 180	+0.186	9.5°C	石膏	100	36.0		-0.040			
		1		含水率 13.9%			37.0	-0.041				
			•		ĺ		37.0	-0 037				
	35.0	+0.173					37.5	-0.041	· · · · · · · · · · · · · · · · · · ·			
	35.5	+0.196		1			36.0	-0.104				
ļ		!						1 1				
		i e		粉温				i l				
100			+0.191	9.5°C	タ ル ク	100	ļ		-0.104			
			,				ì	1 1				
							ļ					
	35.5	+0.185					36.0	-0.107)	· · · · · · · · · · · · · · · · · · ·			
	35.0	+0.231)					38.0	+0.226				
İ	37.0	+0.231) [:]				
	35.5	+0.211		粉温								
100	35.0	+0.221	+0.220	9.5°C	第二膦酸石灰	100			+0.228			
	34.0	+0.218		13.6%								
ļ	35.5	+0.193			•			1.				
	35.5	+0.231					37.0	+0.221)				
丰 :	四体の種	指に トス世	信息のと	·———— iðs			37.0	+1.26				
								1				
-			JUCIII,些	旦,汝地	/		36.0	+1.26				
					軽質炭酸石灰	100	34.5	Í	+1.22			
質	客下量 落	下時間	帯電量 μα	c/100gr			36.0	+1.19				
	(gr)	(SEC)					36.0	+1.22				
			1				38.0	+1.15				
	. }	I .					37.0	+0.663				
,,,,,	100	1	- I	-0.047			35.0	+0.682				
唐	100				į							
					重質		雷星	重質炭酸石灰	100		1	+0.655
	-						100		l .			
_		35.0	– 0. 045 / ————	·			37.0	+0.620				
-		38.0	-0.237)					1				
	1000 表 , 请	36.5 36.5 36.0 37.5 36.0 35.0 35.5 37.0 36.5 36.0 36.5 35.5 35.0 37.0 35.5 35.0 37.0 35.5 35.5 35.0 37.0 35.5 35.0 37.0 36.5 35.5 35.0 37.0 36.5 35.5 35.0 37.0 36.5 37.0 36.5 36.0 36.5 37.0 36.5 37.0 36.5 36.0 36.5 37.0 36.5 37.0 36.5 37.0 36.5 37.0 36.5 37.0 37.0 37.0 37.0 37.0 37.0 37.0 37.0	36.5 +0.196 36.5 +0.178 36.0 +0.180 37.5 +0.208 36.0 +0.190 35.0 +0.173 35.5 +0.196 37.0 +0.178 36.5 +0.183 36.0 +0.203 36.0 +0.196 36.5 +0.193 35.5 +0.185 35.0 +0.231 37.0 +0.231 37.0 +0.231 37.0 +0.231 35.5 +0.193 35.5 +0.193 35.5 +0.193 35.7 +0.193 35.7 +0.193 35.8 ** ** ** ** ** ** ** ** ** **	36.5 +0.196 36.5 +0.178 36.5 +0.178 36.0 +0.180 37.5 +0.208 36.0 +0.190 35.0 +0.173 35.5 +0.196 37.0 +0.178 36.5 +0.183 36.0 +0.203 36.0 +0.196 36.5 +0.193 35.5 +0.185 35.0 +0.231 37.0 +0.231 37.0 +0.231 37.0 +0.231 35.5 +0.211 100 35.0 +0.221 34.0 +0.218 35.5 +0.193 35.5 +0.193 35.5 +0.231 表 粉体の種類による帯電量の比較に、金属スパウト2"φ、100cm、垂ぼに、金属スパウト2"φ、100cm、垂ぼに、金属スパウト2"φ、100cm、垂びに、金属スパウト2"φ、100cm、一の046	36.5	36.5	36.5	35.0 +0.178	35.0			

5.4. 金属スパウトの絶縁及び接地の影響

金属スパウトを使用する場合,スパウトが帯電して電 位が上昇するのを防ぐために,常に接地することになつ ている。この接地が粉体の帯電に如何に影響するかを調 べるために,スパウトをパラフィン,又はゴムシートで 絶縁した場合と接地した場合との粉体の帯電量を比較し た。

その結果は第10表の通りである。

第 10 表 金属スパウトの絶縁、接地による帯電量の比較

金属スパウト 垂直

※1 30.3.11. 曇 10°C, 61%

※2 28.5.1. 睛 16°C, 67%

実 験 置	スパウト の 種 類	粉体の種類	スパウの 状 方	ト態	落下量(gr)	落下時間 (sec)	带 電 量	μc/100gr
				Ì		35.0	+0.625	
						35.0	+0.587	
						35.5	+0.637	
			接	地	100	35.0	+0.600	+0.600
						35.0	+0.575	
		重質炭酸石灰				35. 5	-+0.581	
	2" φ					35. 5	+0.582	
	100 cm	粉 温 9°C				35.0	+0. 425	
		含水率 0.3%				3 5 . 5	+0.430	1 1
						3 5 . 5	+0.400	
			高絶為	縁	100	36.0	+0.437	+0.424
						3 5 . 5	+0.418	
, , , , , , , , , , , , , , , , , , ,						35. 0	+0.412	
I						36.0	+0.440	· · · · · · · · · · · · · · · · · · ·
※ 1						35.5	+0.392	
						36.0	+0.392	
						36.0	+0.385	
			接步	地	100	36.0	+ 0. 350	+0.369
						36. 0	+0.360	
		小麦粉D				36.0	+0.345	
	2" φ	粉 温 10°C				36.0	+0.357	· · · · · · · · · · · · · · · · · · ·
	100 cm					36.0	+0.287	
		含水率14.4%				35.5	+0.312	
						35.5	+0.285	
			高絶	縁	100	35.5	+0.285	+0.286
						35.5	+0.250	
						36.5	+0.305	
						36.0	+0.275	· · · · · · · · · · · · · · · · · · ·
-					7,000	29.0	+0.528	
					7,600	28.0	+0.540	
			接步	地	5,200	18.0	+0.576	+0.543
П	10cm φ	小麦粉 C			7,600	28.0	+0.524	
					7, 200	27.0	+0.548	
※ 2	900 cm	含水率13.6%			7, 400	27.0	+0.544	
					7,400	28.0	0. 544	
			低 絶 糸	縁	8,100	29.0	+0.536	+0.545
					7,400	26.0	+0.556	

П	9cm∏	小麦粉 C	接	地	7,000 7,200 6,900	27. 0 27. 0 27. 0	+0.620 +0.620 +0.610 +0.610	
※ 2	900cm	含水率13.6%	低 絶	縁	6,500 8,300 6,400	26. 0 32. 0 27. 0	+0.616 +0.624 +0.636 +0.635	-; °

註 高絶縁…1~4×10¹² オーム

低絶縁…1~2×10⁸ オーム

実験装置 I に於てパラフィンにて高度(10¹² オーム程度)に絶縁した場合には小麦粉でも,重質炭酸石灰でも 絶縁した時の方が,接地した場合より帯電量が却つて少い。

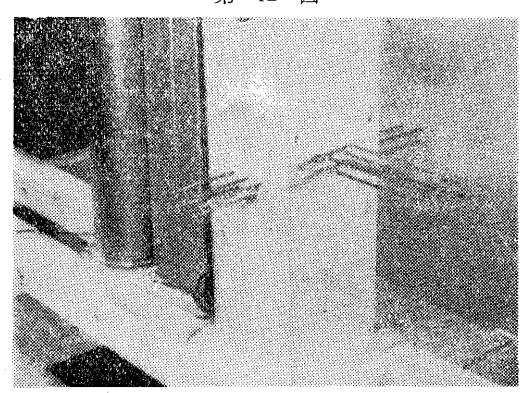
併し現場でスパウトをこのような高絶縁に保つことは 困難であり、又極めて危険である。

次に実験装置 II に於てゴムシートにて絶縁(10° オーム程度)した場合には、帯電量は接地した場合との間に差異を認め難い。従つて現実にはスパウトを接地しても絶縁しても粉体の帯電量には大差はないものと考えられる。そしてスパウトの電位上昇を防ぐために常に接地することが必要である。

5.5. スパウトヘグリツド挿入の影響

スパウト中へグリッドを挿入し、これを接地して置けば、流下する粉体の有する電荷がこれを通じて逃げるのではないかと考え、第12図に示す如く実験装置 II に於て

第 12 図



木製スパウトに径 4mm の針金を挿入して、グリッドを作り帯電量を測定した。その結果は第11表に示す通りでグリッドのない場合の粉体の帯電量が +0.321μc/100grであるのに対しグリッドを挿入した場合は +0.547μc/100grで,却つて +0.226μc も増大している。次に同じ条件でグリッド自体の帯電量を測定した結果 -0.213μc/100grである。従つてグリッドを挿入した結果、粉体はこれとの摩擦により却つて、それだけ多く帯電したものと考えられる。次にグリッドを挿入した位置及びグリッドの本数により帯電量が如何に変化するかを調べた。

第11表 グリッド挿入による帯電量の変化 実験装置 II, 木製スパウト9cm口, 900cm, 垂直 28.4.16. 曇, 13°C, 72%, 試料, 小麦粉 C グリッド4mm¢, スパウトの下端より 22.5cm に挿入

グリッ ド本数	落下量 (gr)	落下時 間(sec)		備考
10	6,700 5,800	28. 0	粉体 +0.546 // +0.548 } +0.547	グリッド 接 地
10	4 , 1 00 6 , 800	24.0	$ \begin{vmatrix} y & y & y & y \\ & -0.214 \\ & & \\ & & -0.212 \end{vmatrix} -0.213 $	
なし	6,300 6,600	28.0	粉体 +0.318 // +0.324 +0.321	グリッド な し

その結果は第12表の通りで、グリッドをスパウトの中間に挿入した場合よりも、下端に挿入した場合の方が帯電量が大きい。下端の方が粉体の流下速度が大きいのではないかと考えられる。

又挿入した本数の多い方が帯電量が大きい。

以上の結果より見て粉体の流動する場所に摩擦の増大 するような障碍物を置くことは、たとえそれを完全に接

第12表 グリッドの位置及び本数による帯電量の変化 実験装置 II, 木製スパウド9cm口, 900cm垂直 28.4.15. 晴, 12°C, 63%, 試料, 小麦粉 C

グリッド の 位 置	グリッ ド本数	落下量 (gr)	落下時 間(sec)	帯電量 μc/100gr
	10	5,800 6,200	27. 0 28. 0	+0.590 +0.570 +0.580
スパウト の下端より 22.5cm に 挿入 4mmφ接地	6	6, 200 5, 500 1, 200 3, 100 4, 400	27. 0 25. 0 10. 0 13. 0 23. 0	+0.510 +0.488 +0.468 +0.504 +0.576 +0.576
7777	3 //	5,600 4,900 6,800	27. 0 25. 0 26. 0	+0.424 +0.400 +0.402 +0.409

and the second second				
	10	7,300	28.0	+0.482)
スパウト	- //	6,800	27.0	+0.508 \ +0.497
の下端より	"	6,700	26.0	+0.502
461.5cm ₹	6	6,700	26.0	+0.460
挿入	//	6,500	26.0	$\begin{array}{c} +0.460 \\ +0.468 \end{array}$ +0.464
4mmφ接地	3	6,700	27.0	+0.402
	"	6,900	28.0	$\begin{array}{c} +0.402 \\ +0.404 \end{array}$ +0.403
<i>†s</i> 1		6,400	26.0	+0.308) +0.307
12	<i>,</i>	6,800	27.0	$\begin{array}{c} +0.308 \\ +0.306 \end{array}$ +0.307

地しても粉体の帯電量を増大することになるので、出来 るだけ**避**けるべきである。

事故を起した製粉タンクでは壁面に梁が突出し、又粉の落し口の直下にチャンネルがあつて、粉がこれらに衝突して落下していたので、粉の帯電量が増大していたものと考えられる。従つて改造に際しては壁面の突起物を除くと共に、落し口をタンクの中央に設けた。

5.6. スパウトの傾斜角度の影響

現場ではスパウトは直立よりも傾斜して用いられる場合が多い。そこでスパウトの傾斜角度がスパウト中を流下する粉体の帯電に如何に影響するかを調べるために実験装置 I に於て径 2 in, 長さ 1 m の金層丸形スパウトを水平に対する傾斜角度 50°より 90°まで変化させ 100gr

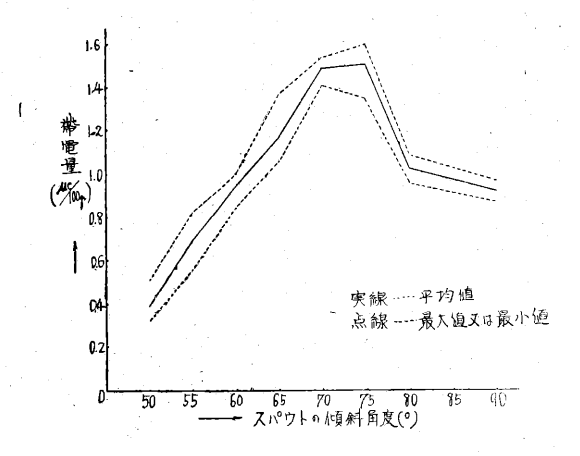
第13表 金属スパウトの傾斜角度の影響 実験装置 I , 金属スパウト2"φ, 100cm, 接地 30.4.7. 睛, 15°C, 66%, 試料, 小麦粉 D

傾斜角度 (°)	落下量 (gr)	落下時間 (sec)	帯電量 μc/100gr
-		38,0	+0.322
		37.0	+0.348
50	100	37.0	+0.348 +0.390
J U		35.5	+0.389
		37.0	+0.503
		36.0	+0.427
	100	38.0	+0.562
		37.5	+0.576
55		38.0	+0.697
	100	37.0	+0.683
		37.0	+0.764
		36.0	+0.825
		38. 0	+0.850
		37.5	+0.985
60	100	37.0	+0.957 +0.945
60	100	36.5	+1.000
	-	36.5	+0.958
		36.0	+0.936

	i i		terror and the second
		37.0	+1.06
	-	38.0	+1.36
65	100	36.5	+1.20
0,7	100	36.5	+1.17
		36.0	+1.07
		36.0	+1.14
		37.0	+1.41
		38.0	+1.54
70	100	36.0	+1.55 +1.49
,0	100	36. 0.	+1.43
		36.0	+1.50
		35.5	+1.53
,		37.0	+1.58)
s 7		38.0	+1.58
75	100	36.5	+1.35
. 17	100	37.0	+1.43
		37.5	+1.52
		38.0	+1.60
		38.0	十0.955
		37.5	+0.967
80	100	37.0	+1.090
	100	37.0	+0.930
		37.5	+1.090
		37.5	+1.070
,		35.0	+0.905
90		36.0	+0.870
	100	37.0	+0.951 +0.920
70	100	35.0	+0.917
		36.0	+0.890
		37.0	+0.965)

の小麦粉を流下させて、その帯電量を測定した。その結果は第13表の通りで、第13図は傾斜角度に対する帯電量の変化を示したものである。

第 13 図



傾斜角度が少い時は落下速度が遅いために帯電量が少く,一方垂直に近くなれば壁面との摩擦が少くなり,再び帯電量が減少するのではないかと考えられ,この実験では70~75度にて最高値を示している。

5.7. 粉体の落下密度の影響

実験装置 I に於て径 2in,長さ Im の金属丸形スパウトを垂直に取付け,30gr 乃至 250gr の小麦粉を平均35

秒間に落下させ、帯電量が如何に変化するかを調査した。

その結果は第14表及び第14図に示す通りである。この 範囲では大体に於て落下量に比例して帯電量が増加し, 100gr 当りの帯電量は殆んど一定している。

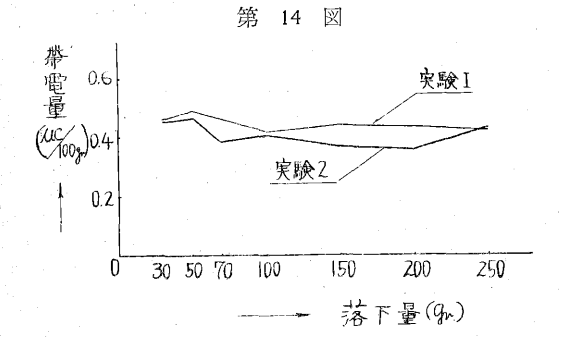
尙、スパウトの断面積及び粉体の落下時間が殆んど一 定であるからこの結果は粉体の落下密度による単位落下

第 14 表 粉体の落下密度による帯電量の比較 実験装置I, 金属スパウト 2"φ, 100cm, 垂直

ON THE OWNER OF THE OWNER				金属ヘハワト 2"		
落下量(gr)	実験No.1 ((30.3.14. 晴	, 12°C, 54%)	実験No.2	(30.4.5. 晴	11°C, 62%)
	落下時間(sec)	帯 電	量 (μc)	落下時間(sec)	帯 電	量 (μc)
	37.5	+0.146		37.0	+0.134	-
	35.0	+0.136		33.0	+0.121	
	34.5	+0.131		35.0	+0.144	
30	36.5	+0.141	$+0.138$ (0.460 μ c/100gr)	37.0	+0.155	+0.137 (0.457μc/100gr)
	36.0	+0.141	(0, 100 11, 100 11)	37.0	+0.135	(0. 15.11.11.008.7)
	36.5	+0.135		33.0	+0.136	
	36.0	+0.139		33.0	+0.136	
	36.0	+0.228		37.0	+0.246	
	34.5	+0.220		38.0	+0.256	
	36.0	+0.233		33.0	+0.217	
50	36.0	+0.244	$+0.231$ (0.488 μ c/100gr)	33.0	+0.216	+0. 231 (0. 463μc/100gr)
	37.0	+0.232	-	33.0	+0.223	
	37.0	+0.231	0.463	33.0	+0.229	
	35.0	+0.231		33.0	+0.236	
	36.0	+0.325		34. 0	+0.268	-
	35.0	+0.337		33.0	+0.278	100
	35.0	+0.300		33.0	+0.280	+0.268 (0.383μc/100gr)
70	36.0	+0.325	$+0.321$ (0.459 μ c/100gr)	33.0	+0.265	
	36.0	+0.317	(0. 15) [20]	33.0	+0.265	
	35.5	+0.312	•	33.0	+0.260	
	36.0	+0.325		32.0	+0.263	
	34.0	+0.402		35.0	+0.409	,
	35.5	+0.420		34.5	+0.404	
	35.0	+0.410	10.412	35.0	+0.409	1.0.400
100	36.0	+0.397	$+0.413$ (0.413 μ c/100gr)	35.5	+0.407	+0.402 (0.402μc/100gr)
	35.5	+0.407	, , , , , , , ,	34.0	+0.394	, , , , , , , , , , , , , , , , , , , ,
	35.5	+0.425		35.0	+0.399	
<u>:</u>	35.5	+0.425		34.5	+3.392	
	36.0	+0.643		35.5	+0.570	
	36.0	+0.681		36.0	+0.558	
	35.0	+0.687	1.0.772	35.0	+0.552	10.550
150	35.5	+0.681	$+0.662$ (0.441 μ c/100gr)	34.0	+0.533	+0.552 (0.369μc/100gr)
	35.5	+0.631	. , , 3,	35.0	+0.527	
	35.0	+0.650		34.5	+0.558	
	36.0	+0.662		36.0	+0.564	

		35.5	+0.868	X.	36.0	+0.695	
		36.0	+0.862		36.0	+0.700	
	10	37.0	+0.882		37.0	+0.707	
200		36.5	+0.882	+0.862 (0.431μc/100gr)	35.0	+0.718	+0.710 (0.355μc/100gr)
		36.0	+0.837	(01.191/10081)	34.0	+0.725	(0.333me/10081)
		35.5	+0.868	· · · · · · · · · · · · · · · · · · ·	35.0	+0.718	
		35.0	+0.843		35.0	+0.707	
		35.5	+1.050		36.0	+1.100	
		36.0	+1.070		36.0	+1.070	
		35.0	+1.060		36.0	+1.170	
250		35.5	+1.070	+1.072 (0.420 μ c/100gr)	36.0	+1.160	+1.080 (0.432μc/100gr)
		35.0	+1.070	(0.1201-011008-)	37.0	+1.100	(0. 152/ne/1008-)
		35.5	+1.090		37.0	+1.050	
		35.5	+1.090	•	36.0	+0.9 2 3	

量当りの帯電量の変化を示している



5.8. スパウトの材質、形状による帶電量の比較

現場では金属丸型又は木製角型のスパウトを使用している。そこでこれらのスパウトの材質及び形状により帯電量が如何に変化するのかを調べるために、実験装置 II に於て金属丸型、金属角型及び木製角型のスパウトを垂直に取付け、小麦粉を流下させてその帯電量を測定した。その結果は第15表(※1)の通りで、金属丸型と金属角型とは大差がないが、木製角型は帯電量が少い。

次に現場に於て約60度に傾斜した金属丸型スパウトと木製角型スパウトとを比較した結果は第15表(※2)の通りで木製の方がはるかに帯電量が小さい。

第15表 スパウトの材質形状による帯電量の比較

※1 28.5.1. 睛, 16°C, 67%, 試料, 小麦粉C 含水率13.6%

※2 28.9.30. 曇, 24°C, 73%, 試料, 小麦粉C 含水率13.0%

Charles and the	-	SECTION TO SECURITION AND SECURITIONS.	DESCRIPTION OF THE OWNER, SHEET,	THE REPORT OF THE PERSON	
実験 装置	スの	パウト 種 類	落下量 (gr)	落下時 間(sec)	帯電量 μc/100gr
П	±	金属	7,300	29.0	+0.598
		10cmφ	6,500	27.0	+0.600 \ +0.599
※ 1	直	900cm	6,500	26.0	+0.600

II	垂	金 属 9cm口 900cm	7,000 7,200 6,900	27. 0 27. 0 27. 0	+0.620 +0.620 +0.616 +0.617
※ 1	直	木 製 9cm 口 900cm	4, 700 5, 300 6, 500	22. 0 27. 0 28. 0	+0. 448 +0. 476 +0. 466 +0. 463
III ※2	傾	金属 18cmφ 高さ 322cm	53, 400 51, 900 59, 800 60, 600	45.0 45.0 45.0 45.0	+0.0985 +0.1060 +0.0979 +0.0955
	斜 60°	木 製 18cm日 高さ 322cm	51,600 60,200 54,200 64,4°0 63,800	40. 0 45. 0 45. 0 50. 0	+0.0252 +0.0241 +0.0218 +0.0171 +0.0160

これらの結果に基き事故を起した製粉タンクの改造に際しコンベヤと製粉タンクの落し口とを接続するスパウトには木製角型を使用することにした。

5.9. スパウトの内面塗料による影響

製粉タンク内面に塗るコンクリートペイントが小麦粉の帯電に如何に影響するかを調らべるために,実験装置IIに於てこれらの3種のペイントをそれぞれ木製スパウトに塗り,帯電量を比較した。その結果は第16表の通りで,全体を通じ,ポリニールが最も帯電量が少い。この値は塗料を塗らない木製スパウトでの帯電量に比べても少ないこの結果と電気試験所木脇氏の実験結果とを併せ検討して改造した製粉タンクの内面にはボリニールを塗ることに決定した。

次に実験装置 I に於て径 2in の金属丸型スパウトについて, 防蝕塗料として絶縁ワニスを塗つたものと, 塗ら

第16表 木製スパウト内面塗料の種類による帯 電量の比較

実験装置Ⅱ, 木製スパウト9cm口, 900cm, 垂直

天!	淚筊直Ⅱ,	不製スノ	17 190	cm口,900cm,垂回
粉体種類	塗料の 種 類	落下量 (gr)	落下時 間(sec)	帯電量 μc/100gr
		13, 350	18.0	+0.1094
		13,700	18.5	+0.0703
•	ポリニ	12,400	19.0	+0.0756 +
	ール	11,900	18.5	$+0.0612 \left(0.0718\right)$
		13,050	19.0	+0:0590
		12,900	18.5	-1-0.0564
		10,500	19.0	+0.336)
		10,515	18.5	+0.341
	エバト	10,650	19.0	+0.318 +0.304
	ップ	9,400	19.0	+0.293
		10,400	19.0	+0.300
		9,550	19.0	+0.278
		10, 450	19.0	+0.386
_		9,550	18.5	+0.444
14	ビニレン	10,100	19.0	+0. 457
小麦粉C	ン	9,900	18.5	+0.464
		10,500	19.0	+0.461
29. 1. 16.		10, 300	19.0	+0.475
曇		8,400	19.0	+0.046
9°C.55%		8,410	19.0	+0.052
	ポリニ	8,650	19.5	+0.049 +0.048
	ール	9,200	19.0	+0.041
		7,700	18.0	+0.039
		7,750	19.0	+0.063
		6,350	19.0	+0.207
		5, 900	19.0	+0.216
	エバト	6 , 4 00	22.5	+0.197
	ップ	6,500	21.0	+0. 193
		6, 200	18.5	+0.220
		6,200	18.0	+0. 193
		7,200	19.0	+0.558
		5,800	17.0	+0.637
	ビニレ	5,950	17.5	+0.587
	"	7,700	23.0	+0.585
		6,800	20.5	+0.580
		7,000	19.0	+0.566)
		8,000	18.5	+0.097
小丰松D		10, 150	19.0	+0.057
小麦粉B	ポリニ ール	9,600	19.0	+0.076 \ +0.082
29. 1. 18.	Į	11,900	20.0	+0.075
9° . 59%		11,500	20.0	+0.076
		5,700	16.0	+0.169
		8,500	17.0	+0.148

	エバトップ	9,900	21.0	+0.182 \ +0.173
		9,500	20.0	+0.170
小麦粉B		9,600	20.0	+0.197
29. 1. 18.		8,300	19.0	+0.227
000 500/	ビニレン	9,400	19.0	+0.269
9°C.59%		9,400	19.0	+0.257 \ +0.274
7		9,300	20.0	+0.294
		9,250	19.0	+0.331
			L	L

ないものとを比較した処,その結果は第17表の通りで塗ったものの方が特電量が少い。併し現場のスパウトに使用するには塗料の絶縁抵抗,内部の電位上昇等を検討しなければならない。

第17表 金属スパウト内面塗装の有無による帯 電量の比較

実験装置 I , 金属スパウト $2''\phi$, 100cm, 垂直, 接地 30.3.11.曇, 10°C, 61%, 試料, 小麦粉 D, 含水率 14.4%, 粉温9°C

塗料の種類	落下量 (gr)	落下時間 (sec)	帯電量 μc/100gr
		35.5	+0.270
		36.0	+0.287
-		36.0	+0.295
絶縁ワニス	100	35.5	+0.295 \ +0.299
		36.0	+0.313
		36.5	+0.315
		36.0	+0.320
		35.5	+0.392
		36.0	+0.392
		36.0	+0.385
なし	100	36.0	+0.350 \ +0.369
		36.0	+0.360
		36.0	+0.345
		36.0	+0.357

塗料 絶縁ワニス 比抵抗 10¹⁴ Ω cm/0.1mm 耐 圧 6500 V/0.1mm

§ 6. 結 語

以上の結果より粉体の流動による帯電は、主に粉体とスパウトなどの壁面との摩擦によつて起り、スパウトの接地は粉体自体の帯電には殆んど影響しないことが明らかになつた。又スパウトの材質、形状、内面塗料の種類傾斜角度等による帯電量の変化を確かめた。粉体の種類並に性状により帯電量が異なり、その極性も異なる。

電 気 課

上月 三郎・寺沢 正義・坂主 勝弘